

Les 2-catégories associées au groupe quantique $U_q(\mathfrak{sl}_n)$

- Buts:
- (1) introduire une version "catégorifiable" \hat{U}_{n+1} du gpe quantique $U_q(\mathfrak{sl}_{n+1})$ et sa forme entière $\mathbb{Z}[q^{\pm 1}]U_{n+1}$
 - (2) présenter la 2-catégorie \hat{U}_{n+1} catégorifiée $\mathbb{Z}[q^{\pm 1}]U_{n+1}$, i.e. $\text{Kol}(\hat{U}_{n+1}) \simeq \mathbb{Z}[q^{\pm 1}]U_{n+1}$ anneau scindé de Grothendieck
 - (3) définir une forme semi-linéaire sur \hat{U}_{n+1} et étudier son lien avec la catégorification

notations:

- le monde des gpes quantiques: lettre droites (U, E)
- le monde des 2-catégories: lettre rondes (\mathcal{U}, \mathcal{E})

rmq: la construction de \hat{U} présentée ici se généralise à une algèbre de Lie semi-simple qez, mais l'isomorphisme $\text{Kol}(\hat{U}) \simeq \mathbb{Z}[q^{\pm 1}]U$ n'est pas (encore?) établi

1) Algèbre quantique enveloppante de \mathfrak{sl}_n : la version standard et la version de Lusztig

matrice de Cartan: $(a_{ij}) = \begin{pmatrix} 2 & & & 0 \\ & 2 & & \\ & & \ddots & \\ 0 & & & 2 \end{pmatrix}$

• on travaille sur le corps \mathbb{K} , $\text{Car}(\mathbb{K})=0$ de Lusztig

algèbre de Lie \mathfrak{sl}_{n+1} :

géné.: $E_i, E_{-i}, H_i, 1 \leq i \leq n$
 $M_{i,i}, M_{i,i+1}, M_{i,i-1}, M_{i,i+2}, \dots$

rel.: $[H_i, H_j] = 0$

$[H_i, E_{\pm j}] = \pm a_{ij} E_{\pm j}, 1 \leq i, j \leq n$

$[E_i, E_{-j}] = \delta_{ij} H_i, 1 \leq i, j \leq n$

rel. de Serre: $[E_i, [E_i, \dots, [E_i, E_j] \dots]] = 0, i \neq j, ij > 0$
 1- a_{ij} fois

$\mathbb{Z}[q^{\pm 1}] U_{n+1}(\mathfrak{sl}_{n+1})$ standard

géné.: $E_{\pm i}, K_{\pm i} = \exp(\pm q H_i)$

rel.: $K_i K_j = K_j K_i, K_i K_{-i} = 1, 1 \leq i \leq n$

$K_i E_{\pm j} = q^{\pm a_{ij}} E_{\pm j} K_i, 1 \leq i, j \leq n$

$[E_i, E_{-j}] = \delta_{ij} \frac{K_i - K_{-i}}{q - q^{-1}}, 1 \leq i, j \leq n$

$\sum_{i+j \geq 1-a_{ij}} (-1)^i E_i^{(i)} E_j E_i^{(j)} = 0, i \neq j, ij > 0$

$E_i^{(i)} = \frac{E_i^i}{i!}, [i]! = [1]! \dots [i]!, [i] = \frac{q^i - q^{-i}}{q - q^{-1}}$

$U_{n+1}(\mathfrak{sl}_{n+1})$: version de Lusztig

géné.: $E_{\pm i} \bar{1}_m, 1 \leq i \leq n, \bar{1}_m, \bar{m} \in \mathbb{Z}^n$

rel.: $\bar{1}_n \bar{1}_m = \delta_{n,m} \bar{1}_n$ idempot. orth.

$E_i \bar{1}_m = \bar{1}_{m+e_i} E_i \bar{1}_m, \bar{m} \in \mathbb{Z}^n, 1 \leq i \leq n$

où $E_{\pm i} = \pm (0, \dots, 0, \overset{i}{1}, 0, \dots, 0), 1 \leq i \leq n$

$[E_i, E_j] \bar{1}_m = \delta_{ij} [m_i] \bar{1}_m, 1 \leq i, j \leq n$

$\sum_{i+j \geq 1-a_{ij}} (-1)^i E_i^{(i)} E_j E_i^{(j)} \bar{1}_m = 0, i \neq j, ij > 0$

idée: V est un U_q -module, $V = \bigoplus_{\bar{m}} V_{\bar{m}}, K_i V_{\bar{m}} = q^{a_{ij} m_j} V_{\bar{m}}, \forall v \in V_{\bar{m}}$

$\bar{1}_m = \text{proj}_m$

$\bar{m}_i = \sum_j a_{ij} m_j$

rmq: (1) "recollement" de n copies de $\mathbb{Z}_2 / U_q(\mathfrak{sl}_2) / \hat{U}_2(\mathfrak{sl}_2)$

(2) forme entière $\mathbb{Z}[q^{\pm 1}] U_q(\mathfrak{sl}_2)$, engendrée par $E_i^{(i)}$ et K_i

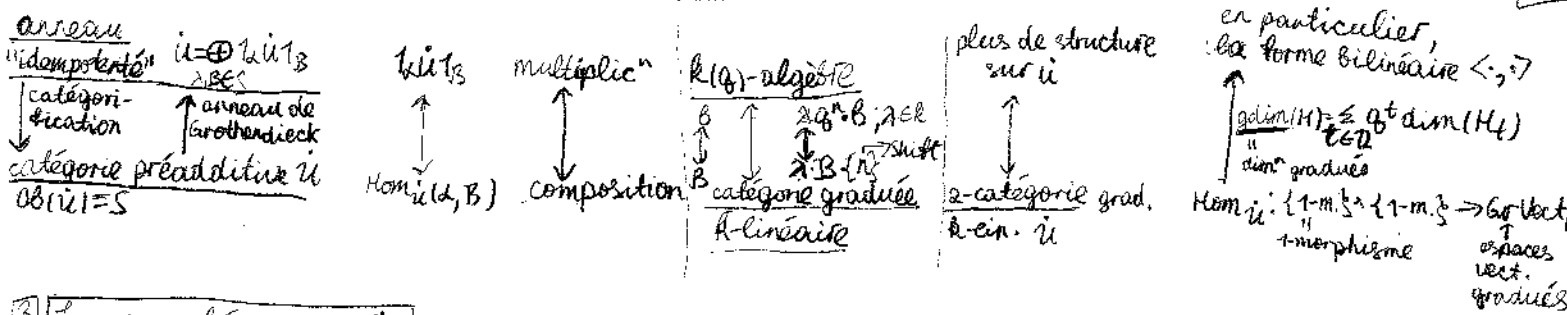
- ||- $\mathbb{Z}[q^{\pm 1}] U_q(\mathfrak{sl}_2)$
- ||- $E_i^{(i)} \bar{1}_m$ et $\bar{1}_m$

(3) \hat{U}_2 possèdent des bases canoniques de Lusztig, avec les propriétés

- d'intégralité et de positivité
- est nécessaire pour la catégorification

(4) il y a une "bonne" forme bilinéaire (on en reviendra plus tard)

2] Généralités sur la catégorification



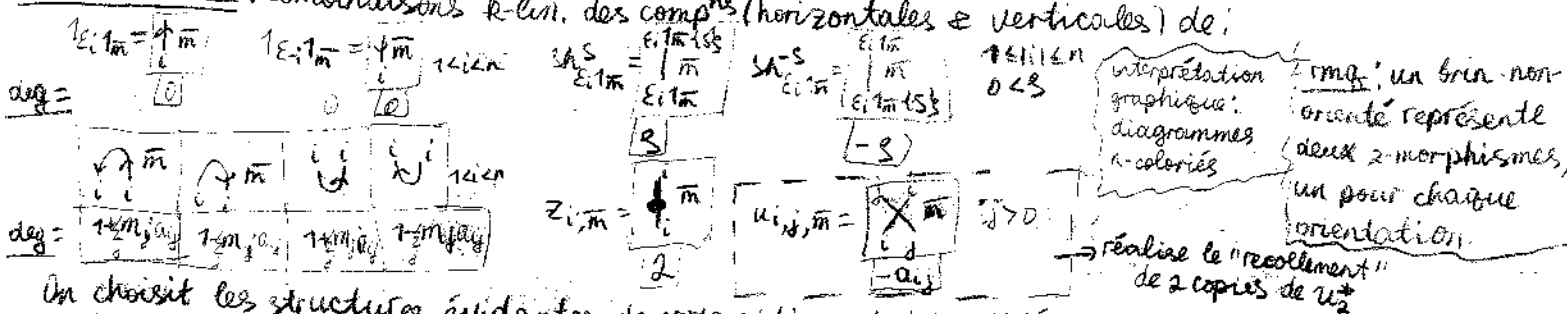
3] La 2-catégorie U_{n+1}^*

idée: "recoller" n copies de U_2^* .

définition: U_{n+1}^* est une 2-cat. graduée, additive \mathbb{R} -linéaire avec translation.

objets: $\bar{m} \in \mathbb{Z}^n$
 1-morphismes: sommes directes des compositions de $1_{\bar{m}} \in \text{Hom}(\bar{m}, \bar{m})$ et $E_i 1_{\bar{m}} \in \text{Hom}(\bar{m}, \bar{m} + E_i)$, $1 \leq i \leq n$.
 calcul graphique: $E_i 1_{\bar{m}} = \uparrow \bar{m}$ et $E_{-i} 1_{\bar{m}} = \downarrow \bar{m}$ pour $i > 0$, i.e. points colorés et munis d'un signe \pm .

2-morphismes: combinaisons \mathbb{R} -lin. des comp^{ns} (horizontales & verticales) de:

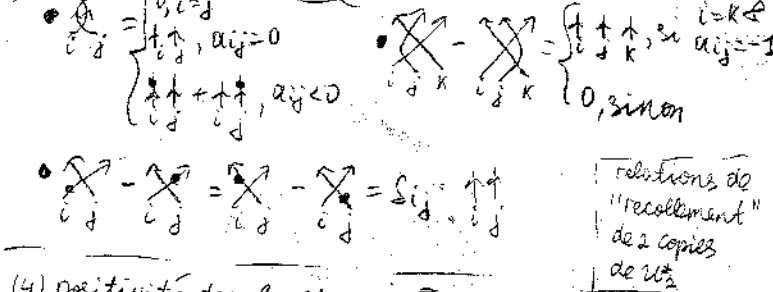


On choisit les structures évidentes de composition et d'identité, et on quotiente par les relations locales, qui préservent le degré.

(1) $E_i 1_{\bar{m}} \cong E_i 1_{\bar{m} + E_i}$ via $S_{i,i+1}^{\pm}$, $\forall i \in \mathbb{Z}, 1 \leq i \leq n$
 (2) $E_i 1_{\bar{m} + E_i}$ et $E_{-i} 1_{\bar{m} + E_i}$ sont biadjoints via $\begin{matrix} \uparrow \bar{m} \\ \downarrow \bar{m} \end{matrix}$ et $\begin{matrix} \downarrow \bar{m} \\ \uparrow \bar{m} \end{matrix}$
 (3) $Z_i \bar{m} = -Z_{-i} \bar{m} = Z_{-i}^* \bar{m}$ et $u_{i,j} \bar{m} = -u_{i,j}^* \bar{m} = u_{i,j}^* \bar{m}$

interprétation graphique: $\mathcal{N} = \{ \uparrow, \downarrow \}$, $\mathcal{N} = \{ \uparrow, \downarrow \}$
 corollaires:
 (1) tout 1-m. ou un biadjoint et tout 2-m. est cyclique
 (2) déformations topologiques d'un diagramme ne changent pas le 2-m. présenté

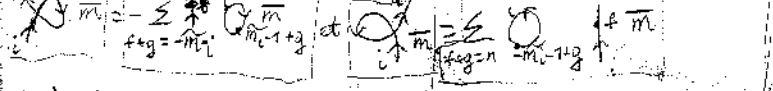
(3) relations Nielsen



rmq: $U_{\mathbb{R}}^+(S_{\mathbb{R}}) \leq U_{\mathbb{R}}^+(S_{\mathbb{R}})$ ss-algèbre engendrée par $1_{\bar{m}}$ et $E_i 1_{\bar{m}}$ $\forall \bar{m} \in \mathbb{Z}^n$
 $U_{n+1}^* \leq U_{n+1}^*$ ss-catégorie, \bullet $1_{\bar{m}} = \oplus$ des comp^{ns} de $1_{\bar{m} + E_i}$ et $E_i 1_{\bar{m} + E_i}$, $i > 0$
 \bullet $Z_i \bar{m} = \text{comp}^ns$ de $1_{E_i \bar{m}}, Z_i \bar{m}, u_{i,j} \bar{m}$, modulo Nielsen, $\forall \bar{m} > 0$
 (tresses) \leq (enchevêtrements)

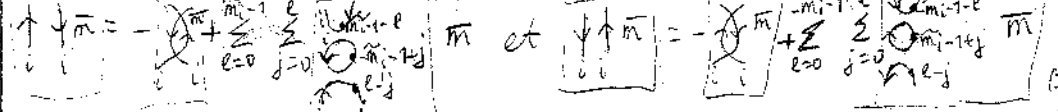
(4) positivité des bulles: $\bigcirc \bar{m} = 0$ si $\ell \in \mathbb{Z}^n, \ell_j > 1$
 $\bigcirc \bar{m} = 0$ si $\ell \in \mathbb{Z}^n, \ell_j < -1$

(5) réduction aux bulles



rmq: on définit les "fausses bulles" $\bigcirc \bar{m}$ et $\bigcirc \bar{m}$ par récurrence via la relⁿ inférie de Grassmann:
 $(\bigcirc \bar{m} + \bigcirc \bar{m} + \dots + \bigcirc \bar{m}) (\bigcirc \bar{m} + \dots + \bigcirc \bar{m}) = 1$

(6) décomposition de $E_i E_{-i}$



cre relⁿ de commutation entre E_i et E_{-i}
 (7) $\uparrow \bar{m} \uparrow \bar{m} = \uparrow \bar{m} \uparrow \bar{m}$, $i \neq j$

4) Rectification de U_{n+1}^*

(a) pb: $E_i 1_m \simeq E_i 1_m \{s\}$ dans U_{n+1}^*
 or $E_i 1_m \neq \mathbb{Q}^s E_i 1_m$ dans $U_2(\mathbb{Z}\langle n+1 \rangle)_0^p$

solution: $\tilde{U}(x, y) = \bigoplus_{s \in \mathbb{Z}} U_{n+1}^*(x, y)$
 $U_{n+1}^*(x, y) = \bigoplus_{s \in \mathbb{Z}} \tilde{U}_s(x \{s\}, y)$
 ces 2-m. qui préservent le degré

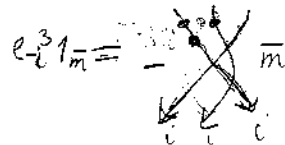
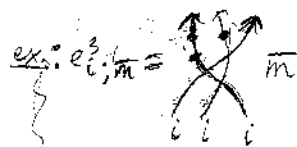
(b) pb: on veut un système d'indécomposables B de U_{n+1} qui donnerait une bonne base \tilde{B} de \tilde{U}
 on veut catégorifier $E_i^{\pm 1} 1_m$, avec $E_i^{\pm 1} 1_m = \mathbb{Q}\{1\} E_i^{\pm 1} 1_m$.

solution: $\tilde{U}(x, y) = \text{Ker}(\tilde{U}_{n+1}(x, y))$ - l'enveloppe de Karoubi
 [on scinde les idempotents]

intégralité
 positivité

On choisit des idempotents dans $\text{End}(E_i^{\pm 1} 1_m)$:

$e_{i, m}^{\pm 1} := (E_i^{\pm 1} 1_m)^{\frac{d(d-1)}{2}}$
 $\{1 \in \mathbb{N} \mid 1 \leq n\}$
 où U_t signifie $u_{i, i, m}$ appliquée aux facteurs t et $t+1$ de $E_i^{\pm 1} 1_m$,
 Z_t signifie $z_{i, m}$ appliquée au facteur t de $E_i^{\pm 1} 1_m$,
 et \bar{m} s'exprime en fonction de m d'une manière évidente.



On pose $E_i^{(d)} 1_m := (E_i^{\pm 1} 1_m, e_{i, m}^{\pm 1}) \left\{ \frac{d(d-1)}{2} \right\} \in \mathcal{OB}(U_{n+1}(m, m+dE_i))$,
 et on vérifie $E_i^{\pm 1} 1_m = (E_i^{(d)} 1_m) \oplus \mathbb{Q}\{1\}$

où pour un 1-m. E de U_{n+1} et pour un polynôme de Laurent $f(x) = \sum_{j \in \mathbb{Z}} a_j x^j$, on note $E^{\oplus f(x)} := \bigoplus_{j \in \mathbb{Z}} (E_{\{j\}})^{\oplus a_j}$

5) Théorème principal (Khovanov, Lauda);

La 2-catégorie U_{n+1} catégorifie l'algèbre de Lusztig $\mathbb{Z}\langle q^{\pm 1} \rangle U_n(\mathbb{Z}\langle n \rangle)$; plus précisément,
 $\text{Ker}(U) \xrightarrow{\cong} \mathbb{Z}\langle q^{\pm 1} \rangle U$ c.c.f. paragraphe [2] - isomorphisme de $\mathbb{Z}\langle q^{\pm 1} \rangle$ -algèbres
 $E_i^{(d)} 1_m \leftrightarrow E_i^{(d)} 1_m$
 $\text{Hom}_U(\cdot, \cdot) \xrightarrow{\cong} \langle \cdot, \cdot \rangle$

symétries du calcul graphique \leftrightarrow (anti-)homomorphismes intéressants

cohomologie des variétés des drapeaux térés \leftrightarrow représentations irréductibles de U

un ingrédient important de la preuve du théorème

la base B $\xrightarrow{?}$ la base canonique de Lusztig
 vrai pour \mathbb{Z}_2

6. Interprétation graphique de la forme semi-linéaire sur $U_q(\mathfrak{sl}_n)$

$\langle \cdot, \cdot \rangle : U \times U \rightarrow k(q)$

$\mathbb{Z}[q, q^{-1}] \times \mathbb{Z}[q, q^{-1}] \rightarrow \mathbb{Z}[q, q^{-1}]$

notation: $E_i = E_{i_1} E_{i_2} \dots E_{i_p}$
pour $T = (i_1, i_2, \dots, i_p)$,
 $i > 0 \Leftrightarrow i_s > 0 \forall s$

- (1) k-semi-linéaire: $\langle f(q)x, g(q)y \rangle = f(q)^{-1}g(q)\langle x, y \rangle \forall f, g$ -polynômes de Laurent en q
- (2) propriété "Hom": $\langle 1_{\bar{m}} \times 1_{\bar{m}}, 1_{\bar{m}} \cdot y \cdot 1_{\bar{m}} \rangle = 0$ si $\bar{m} \neq \bar{m}$ ou $\bar{m} \neq \bar{m}^1$
- (3) adjonction: $\langle ux, y \rangle = \langle x, \tau(u)y \rangle \forall x, y, u \in U$
- $\tau : U \rightarrow U^{op}$, $k(q)$ -antilinéaire, défini par $\tau(1_{\bar{m}}) = 1_{\bar{m}}$
 $\tau(E_i 1_{\bar{m}}) = q^{-1-2a_i m_i} E_i \cdot 1_{\bar{m}} + E_i$
- (4) symétrique: $\langle E_i 1_{\bar{m}}, E_j 1_{\bar{m}} \rangle = \langle E_j 1_{\bar{m}}, E_i 1_{\bar{m}} \rangle$
- (5) normalisation: $\langle 1_{\bar{m}}, 1_{\bar{m}} \rangle = 1$
- (6) propriété grassmannienne: $\langle E_i E_j 1_{\bar{m}}, E_j E_i 1_{\bar{m}} \rangle = \delta_{ij} (1-q^2)^{-1}$
- (7) propriété de Hopf: $\langle E_i 1_{\bar{m}}, E_j E_{\bar{A}} 1_{\bar{m}} \rangle = \langle \Delta(E_i)(1_{\bar{m}} \otimes 1_{\bar{m}}), E_j 1_{\bar{m}} \otimes E_{\bar{A}} 1_{\bar{m}} \rangle$; $i, j, \bar{A} > 0$
- $\Delta : U^* \rightarrow U^* \otimes U^*$ avec $(E_i \otimes E_j) \cdot (E_k \otimes E_l) = (q^{-2a_i} a_i + k_b E_i E_k \otimes E_j E_l)$ est l'isomorphisme d'algèbre donné par $\Delta(E_i) = E_i \otimes 1 + 1 \otimes E_i$

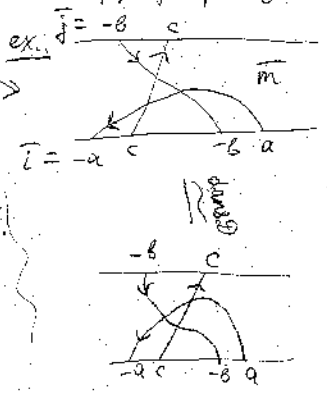
Prop: \exists forme sur U qui satisfait (1)-(7), elle est en plus non-dégénérée.

Dans le cas sl_2 , on a vu comment $\langle \cdot, \cdot \rangle$ donne l'intuition pour construire U .

Inversement, montrons comment une sous-catégorie de U^* permet de calculer $\langle \cdot, \cdot \rangle$ graphiquement

$\mathcal{D}(T, \bar{J}) = \{ (T, \bar{J}) \text{-diagrammes colorés orientés} \}$
 $\mathcal{D}' = \mathcal{D} / \text{isotopie}$
 $\text{map: } \mathcal{D}'(T, \bar{J}) \xrightarrow{\text{is}} \{ (T, \bar{J}) \text{-couplages} \}$
 $(d \in \mathcal{D}'(T, \bar{J}), \bar{m} \in \mathbb{Z}^n) \mapsto d_{\bar{m}} \in \text{Hom}_{U^*}(E_i 1_{\bar{m}}, E_j 1_{\bar{m}})$

minimaux, c.à.d. le dessin sans auto-intersection avec au plus une intersection des deux brins



Prop: $d \sim d'$ dans $\mathcal{D}'(T, \bar{J}) \Rightarrow \deg(d_{\bar{m}}) = \deg(d'_{\bar{m}}) = \deg(d', \bar{m})$, où $d' \in \mathcal{D}'$ est la classe de d .

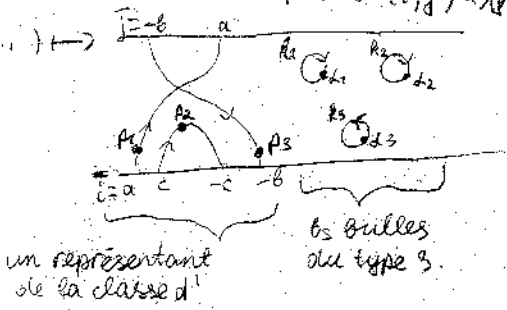
Prop: $\langle E_i 1_{\bar{m}}, E_j 1_{\bar{m}} \rangle = (1-q^2)^{-\frac{|i|+|j|}{2}} \sum_{d \in \mathcal{D}'(T, \bar{J})} \deg(d, \bar{m})$

idée de la preuve: récurrence; utiliser: $\deg(\overline{\times}) = 0, \forall i, j, \leq n; \deg(\overline{\times}) = 0, \text{ si } a_{ij} = 0$

Cl: on en déduit une définition combinatoire de U .

7. Description de $\text{Hom}_{U^*}(E_i 1_{\bar{m}}, E_j 1_{\bar{m}})$

Prop: $\text{Hom}_{U^*}(E_i 1_{\bar{m}}, E_j 1_{\bar{m}})$ a une base indexée par $\mathcal{D}'(T, \bar{J}) \times \mathbb{N}^{\frac{|i|+|j|}{2}}$, où $B^+ = \{ \text{bulles de } \deg > 0 \}$



idée de la preuve: montrer que ces 2-morphismes agissent sur la cohomologie des variétés des drapeaux itérés linéairement indépendamment

mg: pour une algèbre de Lie semi-simple quelconque, l'indépendance linéaire de ces 2-m. permettrait d'établir l'analogie de notre théorème principal